

УДК 528.23

А. В. БУТКЕВИЧ, Н. Н. ЯКОВИНИЧ

## О РЕШЕНИИ ОБРАТНОЙ ГЕОДЕЗИЧЕСКОЙ ЗАДАЧИ С ПОМОЩЬЮ I ПРОЕКЦИИ ГАУССА ЭЛЛИПСОИДА НА ШАРЕ СО СРЕДНЕЙ НОРМАЛЬНОЙ ШИРОТОЙ

Авторы исследовали неосвещенный в литературе вариант Гауссова конформного изображения эллипсоида на шаре для получения простой проекции, удобной для ручного и машинного решения различных задач высшей и морской геодезии, с малыми искажениями азимутов и расстояний, которыми в ряде случаев можно пренебречь.

В 1822 г. К. Ф. Гаусс разработал общую теорию конформного изображения одной поверхности на другой, в частности эллипсоида на шаре, и применил ее для решения главных геодезических задач.

В I проекции Гаусса (1822) сохраняется равенство долгот на эллипсоиде и на шаре, т. е.  $\alpha = \frac{d\lambda}{dl} = 1$ , и основные формулы имеют вид [2]

$$\lambda = l; \quad (1)$$

$$\operatorname{tg}\left(45^\circ + \frac{\varphi}{2}\right) = \frac{1}{k_0} \operatorname{tg}\left(45^\circ + \frac{B}{2}\right) \left(\frac{1 - e \sin B}{1 + e \sin B}\right)^{e/2} = \operatorname{tg}\left(45^\circ + \frac{B}{2}\right) \frac{U}{U_0}. \quad (2)$$

При этом

$$\varphi_0 = B_0; \quad \bar{R} = N_0; \quad k_0 = \frac{U_0}{\operatorname{tg}\left(45^\circ + \frac{B_0}{2}\right)}; \quad (3)$$

$$\lg m = \frac{\mu\eta^2 \Delta\varphi^2}{2} - \frac{\mu\eta^2 \operatorname{tg} B_0 V^3 \Delta\varphi^3}{2} + \dots; \quad (4)$$

$$\begin{aligned} (\lg m)_{\text{cp}} &= \frac{1}{6} (\lg m_1 + 4 \lg m_m + \lg m_2) = \\ &= \frac{\mu\eta^2 \Delta\varphi^2}{6} - \frac{\mu e^2 \sin 2\varphi_0 V^3 \Delta\varphi^3}{16} + \dots \end{aligned} \quad (5)$$

Гаусс рекомендовал для изображения эллипсоида на шаре и решения геодезических задач свою II проекцию (1844), в ко-

торой линейные искажения не II порядка (как в I проекции), а III, однако формулы в ней гораздо сложнее.

I проекция Гаусса привлекает внимание своей простотой, а возможности ее использования, как будет показано далее, далеко не исчерпаны. Для решения геодезических задач ее применяли А. Беррот в 1922 г. [4] и Г. В. Багратуни в 1949 г. в неявном виде [3]. При этом А. Беррот использовал для решения прямой геодезической задачи конформный шар с радиусом  $R=N_1$ , для которого  $\varphi_0=B_0=B_1$  и  $\lambda=l$ , т. е. проводил нормальную параллель через начальный пункт с широтой  $B_1$ , причем вводил в полученные сферические азимуты  $\alpha_{12}$  и  $\alpha_{21}$  поправки [4]:

$$\psi_1 = \frac{S^2 \eta^2 \sin 2A_1 \rho''}{12N_1^2} - \frac{S^3 \eta^3 \sin A_1 \operatorname{tg} B_1 \rho''}{24N_1^3} = \Delta_1 - \Delta_2; \quad (6)$$

$$A_{12} = \alpha_{12} - \psi_1; \quad (7)$$

$$\psi_2 = \frac{S^2 \eta^2 \sin 2A_1 \rho''}{6N_1^2} + \frac{S^3 \eta^3 \sin A_1 \operatorname{tg} B_1 \rho''}{8N_1^3} = 2\Delta_1 + 3\Delta_2 \approx 2\psi_1; \quad (8)$$

$$A_{21} = \alpha_{21} + 2\psi_1, \quad (9)$$

полностью совпадающие с поправками за переход от азимутов геодезической линии на эллипсоиде к прямому и обратному азимутам прямого нормального сечения. В работе [1] показано, что в этом случае изображение геодезической линии на шаре имеет такие же азимуты, как и прямое нормальное сечение на эллипсоиде.

Чтобы решить обратную геодезическую задачу, он проводил нормальную параллель через точку со средней широтой  $B_m = \frac{1}{2}(B_1 + B_2)$ , а для исключения поправок в азимуты и расстояния, полученные на шаре, исправлял сферические широты и разность долгот с помощью весьма сложных формул [2, 4]. Поэтому его способ решения обратной задачи не нашел практического применения.

В 1949 г. Г. В. Багратуни [3] предложил решать прямые и обратные геодезические задачи при помощи перспективного изображения эллипсоида на «сфере нормалей», принимая и для прямой, и для обратной задач  $R=N_1$ ,  $\varphi_1=B_1$  и используя для передачи координат прямое нормальное сечение. В работе [1] доказано, что это практически соответствует (при  $B_0 > 45^\circ$  и  $B > 50^\circ$  с расхождениями в широтах и азимутах меньше  $0,01''$ ) решению задач с помощью I проекции Гаусса с нормальной широтой  $B_0$ , равной широте нормального пункта  $B_1$ . Следовательно, формулы способов Гаусса и Багратуни эквивалентны и могут служить для взаимного контроля.

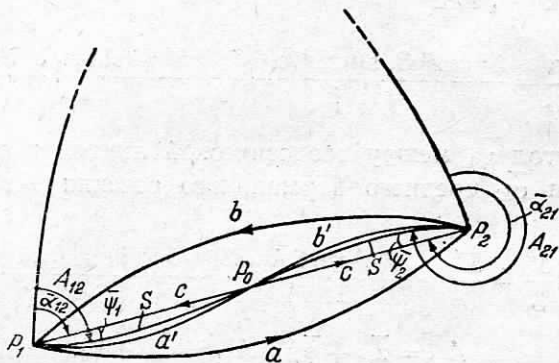
Формула Г. Багратуни для  $B_2'$  имеет вид [3]

$$\operatorname{tg} B_2' = \operatorname{tg} B_2 \left( 1 - e^2 + \frac{e^2 V_2 \sin B_1}{V_1 \sin B_2} \right), \quad (10)$$

а поправки азимутов  $\psi_1$  и  $\psi_2$  и расстояний  $\delta S$  совпадают с поправками за переход от азимутов и длины  $S_0$  дуги прямого нормального сечения к геодезической линии  $S$ , причем [1]

$$\delta S = S - S_0 = \frac{S^3 \eta \cos^2 A_1}{6N_1^2} - \frac{S^4 \eta^2 \cos A_1 \operatorname{tg} B_1}{8N_1^3}. \quad (11)$$

Чтобы сохранить простоту решения, но уменьшить поправки азимутов и расстояний, например для целей морской геодезии и геодезии, целесообразно применять I проекцию Гаусса со средней нормальной широтой, что в 1978 г. предложил



Расположение нормальных сечений и геодезической линии в I проекции Гаусса со средней нормальной широтой.

проф. А. В. Буткевич. При этом в ряде случаев поправки будут пренебрегаемо малы.

**Вывод редуционных формул.** Получим необходимые редуционные формулы для поправок азимутов и расстояний в I проекции Гаусса со средней нормальной широтой. На рисунке  $a = P_1 \bar{a} P_2$  и  $b = P_2 \bar{b} P_1$  — взаимные прямое и обратное нормальные сечения, проведенные в конечных пунктах  $P_1$  и  $P_2$  геодезической линии  $S$ ;  $\Delta$  — угол между ними;  $\alpha_{12}$  и  $\alpha_{21}$  — прямой и обратный азимуты среднего нормального сечения, проведенного в средней точке  $P_0$  геодезической линии  $S$  на пункты  $P_1$  и  $P_2$ ;  $A_{12}$  и  $A_{21}$  — азимуты геодезической линии;  $\psi_1$  и  $\psi_2$  — поправки в азимуты среднего нормального сечения за переход к геодезической линии;  $\alpha_{21}$  и  $\alpha_{12}$  — прямой и обратный азимуты прямого нормального сечения.

В книге Ф. Н. Красовского [2] доказывается, что точка  $B_0$  практически (с погрешностью в доли миллиметра) находится на одинаковых расстояниях от прямого  $a$  и обратного  $b$  нормальных сечений (если азимут геодезической линии не близок к  $90^\circ$ ). Среднее нормальное сечение, проведенное через точку  $P_0$  на  $P_1$  и  $P_2$ , делит угол  $\Delta$  между нормальными сечениями

пополам, т. е. образует с сечениями  $a$  и  $b$  в точках  $P_1$  и  $P_2$  углы  $\frac{\Delta}{2}$  [2]. Если же провести прямые нормальные сечения «второго порядка» из пунктов  $P_1$  и  $P_2$  на  $P_0$ , то они образуют с обратными сечениями «второго порядка» (т. е. со средним нормальным сечением) углы  $\frac{\Delta}{4}$ .

Как известно [2], при азимутах, не близких к  $90^\circ$ , угол  $\delta_{12}$  между геодезической линией и прямым нормальным сечением стремится к  $\frac{\Delta}{3}$ , или

$$\delta_{12}^* = \psi_1^* = \frac{\Delta}{3} = \frac{S^2 \cos^2 B_1 \sin 2A_1 e'^2 \rho''}{12N_1^2} - \frac{S^3 \eta_1^2 \sin A_1 \operatorname{tg} B_1 \rho''}{24N_1^3} + \dots \quad (12)$$

Поэтому угол  $\bar{\psi}_1$  между геодезической линией и прямым направлением  $\bar{\alpha}_{12}$  среднего нормального сечения  $s$  в начальной точке  $P_1$

$$\bar{\psi}'' = \frac{\Delta''}{2} - \frac{\Delta''}{3} = \frac{\Delta''}{6} = \frac{S^2 \eta^2 \sin 2A_{12} \rho''}{24N_1^2} - \frac{S^3 \eta_1^2 \sin A_{12} \operatorname{tg} B_1 \rho''}{48N_1^3} + \dots \quad (13)$$

Очевидно,  $A_{12} = \bar{\alpha}_{12} + \bar{\psi}_1$ ;  $A_{21} = \bar{\alpha}_{21} + \bar{\psi}_2$ . (14)

Исходя из свойств среднего нормального сечения, с достаточной точностью можно считать  $\psi_2 = \bar{\psi}_1$ .

Таким образом, по сравнению с I проекцией Гаусса с начальной нормальной широтой (А. Беррот, Г. Багратуни) поправки в азимуты  $\bar{\psi}_1$  и  $\bar{\psi}_2$  здесь получаются: а) в два раза меньше, чем при  $B_0 = B_1$ ; б) одинаковыми по знаку и значению, что весьма упрощает их вычисление и уменьшает искажения азимутов.

Для определения линейных искажений найдем логарифмы средних масштабов длин для отрезков  $\overline{P_0 P_1}$  и  $\overline{P_0 P_2}$  по формуле (5): для  $\overline{P_0 P_1}$

$$\lg m_{01}^m = \frac{\mu \eta^2 \Delta \Phi^2}{24\rho^2} - \frac{\mu \eta^2 \operatorname{tg} B \Delta \Phi^3}{64\rho^3}, \quad (15)$$

для  $\overline{P_0 P_2}$

$$\lg m_{02}^m = \frac{\mu \eta^2 \Delta \Phi^2}{24\rho^2} + \frac{\mu \eta^2 \operatorname{tg} B \Delta \Phi^3}{64\rho^3}, \quad (16)$$

где

$$\Delta \Phi = \varphi_2 - \varphi_1.$$

Поэтому, взяв среднее из этих выражений, для линии  $P_1 P_2$  получим

$$\lg m_m = \frac{\mu \eta^2 \Delta \Phi^2}{24\rho^2}, \quad (17)$$

т. е. в четыре раза меньше, чем у А. Беррота и Г. В. Багратуни. Редуцирование расстояний здесь удобно выполнять по формуле

$$\lg S = \lg \frac{\sigma'' N_m}{\rho''} - \lg m_m = \lg S_0 - \lg m_m. \quad (18)$$

Значения  $\lg m_m$  легко табулировать по  $B_0$  и  $\Delta\varphi \cong \Delta B$  (см. табл.).

Таблица значений  $\lg m_m$  (в единицах 7-го знака)

| $B_0$ | $\Delta B$ |    |    |    |    |    |    |    |    |     |
|-------|------------|----|----|----|----|----|----|----|----|-----|
|       | 1°         | 2° | 3° | 4° | 5° | 6° | 7° | 8° | 9° | 10° |
| 35°   | 0          | 1  | 3  | 5  | 8  | 12 | 16 | 20 | 26 | 32  |
| 40°   | 0          | 1  | 3  | 4  | 7  | 10 | 14 | 18 | 23 | 28  |
| 45°   | 0          | 1  | 2  | 4  | 6  | 9  | 12 | 15 | 19 | 24  |
| 50°   | 0          | 1  | 2  | 3  | 5  | 7  | 10 | 13 | 16 | 20  |
| 55°   | 0          | 1  | 1  | 3  | 4  | 6  | 8  | 10 | 13 | 16  |
| 60°   | 0          | 0  | 1  | 2  | 3  | 4  | 6  | 8  | 10 | 12  |
| 65°   | 0          | 0  | 1  | 1  | 2  | 3  | 4  | 6  | 7  | 9   |
| 70°   | 0          | 0  | 1  | 1  | 1  | 2  | 3  | 4  | 5  | 6   |

**Решение обратной геодезической задачи.** Экспериментальное решение обратной геодезической задачи (при  $S=392$  км) выполняли с помощью формул:

$$\operatorname{tg} \left( 45^\circ + \frac{\varphi_1}{2} \right) = \frac{U_1}{U_m} \operatorname{tg} \left( 45^\circ + \frac{B_m}{2} \right); \quad (2')$$

$$\Delta\varphi = \varphi_2 - \varphi_1; \quad \varphi_m = \varphi_1 + \frac{\Delta\varphi}{2}; \quad (19)$$

$$\operatorname{tg} \bar{\alpha}_m = \frac{\operatorname{tg} \frac{\lambda}{2} \cos \varphi_m}{\sin \frac{\Delta\varphi}{2}}; \quad (20) \quad \operatorname{tg} \frac{\Delta\alpha}{2} = \frac{\operatorname{tg} \frac{\lambda}{2} \sin \varphi_m}{\cos \frac{\Delta\varphi}{2}}; \quad (21)$$

$$\bar{\alpha}_{12} = \bar{\alpha}_m - \frac{\Delta\alpha}{2}; \quad \bar{\alpha}_{21} = \bar{\alpha}_m + \frac{\Delta\alpha}{2}; \quad (22)$$

$$A_{12} = \bar{\alpha}_{12} + \bar{\psi}_1; \quad A_{21} = \bar{\alpha}_{21} + \bar{\psi}_2; \quad (14')$$

$$\operatorname{tg} \frac{\sigma}{2} = \frac{\operatorname{tg} \frac{\Delta\varphi}{2} \cos \frac{\Delta\alpha}{2}}{\cos \bar{\alpha}_m} = \frac{\operatorname{ctg} \varphi_m \sin \frac{\Delta\alpha}{2}}{\sin \bar{\alpha}_m}; \quad (23)$$

$$\lg S = \lg \frac{\sigma'' N_m}{\rho''} - \lg m_m. \quad (18')$$

При отсутствии таблиц  $\lg U$  для повышения точности и для контроля можно применять и другие формулы:

$$\varphi_m = B_m + \frac{d^2 \varphi}{dB^2} \cdot \frac{\Delta B}{8\rho''} = B_m + \frac{3e^{12} \sin 2B_m \Delta B''^2}{16V_m''} + \dots; \quad (24)$$

$$\Delta\varphi'' = \frac{(X_2 - X_1) m_m \rho''}{N_m} \cdot \frac{\Delta B}{V_m''}. \quad (25)$$

Исходные данные для решения:  $B_1 = 50^\circ 40' 00''$ ,  $000$ ;  $B_2 = 53^\circ 10' 00''$ ,  $000$ ;  $l = 4^\circ 00' 00''$ ,  $000$  взяты из работы [1].

Сравнение с результатами точного решения обратной геодезической задачи на эллипсоиде в [1] дало следующие расхождения:

|                     |               |                     |                |                |            |
|---------------------|---------------|---------------------|----------------|----------------|------------|
| $\bar{\alpha}_{12}$ | 43°08'03",486 | $\bar{\alpha}_{21}$ | 226°17'02",391 | lgS'           | 5.59239931 |
| $A_{12}$            | 03",566       | $A_{21}$            | 02",472        | lgS            | 5.59239922 |
| $\bar{\psi}_1$      | -0",08        | $\bar{\psi}_2$      | -0",082        | $\delta \lg S$ | +9         |

Вычисление поправок азимутов и расстояний:

|                     |        |                            |       |                              |        |                              |       |
|---------------------|--------|----------------------------|-------|------------------------------|--------|------------------------------|-------|
| $\bar{\alpha}_{12}$ | 43°08' | lg $\frac{e'^2}{24\rho''}$ | 1.134 | lg $\frac{e'^2}{48\rho''^2}$ | 5.519  | lg $\frac{e'^2}{24\rho''^2}$ | 5.820 |
| $\varphi_m$         | 51°55' | lg $\cos^2 B_m$            | 9.580 | lg $\cos^2 B_m$              | 9.580  | lg $\mu \cdot 10^8$          | 7.638 |
| $2\alpha_{12}$      | 86°16' | lg $\sin 2\alpha_{12}$     | 9.999 | lg $\operatorname{tg} B_m$   | 0.106  | lg $\cos^2 B_m$              | 9.580 |
| lg $\sigma''$       | 4.101  | lg $\sigma''^2$            | 8.202 | lg $\sin \alpha^2$           | 9.835  | lg $\Delta\varphi''^2$       | 7.908 |
| I                   | 0.082  | lg I                       | 8.915 | lg $\sigma''^3$              | 12.304 | lg $\lg m_m$                 | 0.946 |
| II                  | 0.002  | $\bar{\psi}_1$             | 0.080 | lg II                        | 7.344  | lg $m_m$                     | 9     |

Следовательно, редуцированные формулы получены верно.

Таким образом, при решении обратных геодезических задач и засечек на средние расстояния (до 500...600 км) в геодезии и морской геодезии удобно применять I проекцию Гаусса эллипсоида на шаре со средней нормальной широтой  $B_0 = B_m$ . При этом поправки азимутов  $\psi_1$  и  $\psi_2$  равны между собой по значению и по знаку и в два раза меньше, чем у А. Беррота и Г. Багратуни (т. е. при  $B_0 = B_1$ ). В этом случае поправки расстояний уменьшаются в четыре раза (по сравнению со случаем  $B_0 = B_1$ ) и при  $S \leq 400$  км и  $B_0 > 45^\circ$  не превышают 0,2 м и неощутимы для морской геодезии и геодезии.

При  $B_0 > 45^\circ$  максимальные поправки азимутов меньше 0",01 при  $S < 119$  км и  $< 0",1$  при  $S < 375$  км, а средний логарифм масштаба  $\lg m_m < 1 \cdot 10^{-7}$  при  $S < 258$  км и  $< 5 \cdot 10^{-7}$  при  $S < 578$  км. Значит, в геодезии поправками можно пренебрегать при  $S < 250 \dots 300$  км и в морской геодезии — при  $S < 500 \dots 600$  км.

Экспериментальное решение обратных геодезических задач и засечек с помощью этой проекции подтвердило простоту формул и малость искажений.

Для массового решения задач авторами составлена программа на языке Фортран для ЭВМ ЕС-1022.

Список литературы: 1. Буткевич А. В. Исследования по решению вычислительных задач сферондической геодезии. — М.: Недра, 1964. 2. Красовский Ф. Н. Руководство по высшей геодезии, ч. 2. — М.: Геодезиздат, 1942. 3. Рабинович Б. Н. Практикум по высшей геодезии. — 1-е изд. — М.: Геодезиздат, 1951. 4. Ходорович П. А. Решение главной задачи высшей геодезии методом свободного выбора положения нормальной параллели при конформном изображении поверхности эллипсоида на поверхности шара. — Омск, ОМСХИ, 1938.

Работа поступила в редколлегию 14 ноября 1979 года.

УДК 528.414

А. В. ГОЖИИ

## К ВЫЧИСЛЕНИЮ УГЛОВОЙ НЕВЯЗКИ В РАЗОМКНУТОМ ТЕОДОЛИТНОМ ХОДЕ

В настоящее время для вычисления угловой невязки  $f_{\beta}$  в разомкнутом теодолитном ходе используют несколько разновидностей формул. Из них наиболее часто встречаются следующие [2, 4—6, 9]:

$$f_{\beta} = \sum_1^n \beta_{\text{изм}} - (\alpha_n - \alpha_k + n \cdot 180^{\circ}) \quad (1)$$

(если в ходе измеряли правые по ходу лежащие горизонтальные углы  $\beta$ ) и

$$f_{\beta} = \sum_1^n \beta_{\text{изм}} - (\alpha_k - \alpha_n + n \cdot 180^{\circ}) \quad (2)$$

(если в ходе измеряли левые углы  $\beta$ ).

В формулах (1) и (2)  $\sum_1^n \beta_{\text{изм}}$  — сумма всех измеренных углов хода вместе с примычными;  $\alpha_n$  и  $\alpha_k$  — дирекционные углы начальной и конечной опорных сторон хода соответственно;  $n$  — число всех измеренных углов, включая примычные.

Как правило, другие разновидности формул для вычисления  $f_{\beta}$  отличаются от (1) и (2) внешним видом или содержанием множителя перед  $180^{\circ}$ . Так, в работах [6, 7] при выводе формул для определения  $f_{\beta}$  через  $n$  обозначено число сторон хода, а множитель перед  $180^{\circ}$  — число углов соответственно через  $n+1$ . В формуле, приведенной в работе [1], множитель перед  $180^{\circ}$  — величина  $n-1$  ( $n$  — число углов).

Практическое применение всех разновидностей формул для определения  $f_{\beta}$  свидетельствует, что ни одна из них не является идеальной, поскольку в ряде случаев вычисленные по соответ-